https://doi.org/10.35754/0234-5730-2025-70-2-156-164



СРАВНЕНИЕ ФУНКЦИОНАЛЬНОГО И ИММУНОФЕНОТИПИЧЕСКОГО ПРОФИЛЯ АНТИ-CD19 МОДИФИЦИРОВАННЫХ Т-КЛЕТОК, ЭКСПРЕССИРУЮЩИХ ХИМЕРНЫЙ АНТИГЕННЫЙ РЕЦЕПТОР, ПОЛУЧЕННЫХ ОТ ЗДОРОВЫХ ДОНОРОВ И БОЛЬНЫХ В-КЛЕТОЧНЫМ ОСТРЫМ ЛИМФОБЛАСТНЫМ ЛЕЙКОЗОМ, ПРИ ДЛИТЕЛЬНОЙ РЕСТИМУЛЯЦИИ *IN VITRO* 

Ненашева Т.А., Фефелова Е.И., Сердюк Я.В., Сальман Р., Иванова Н.О., Алешина О.А., Боголюбова А.В.\*

ФГБУ «Национальный медицинский исследовательский центр гематологии» Министерства здравоохранения Российской Федерации; 125167, г. Москва, Российская Федерация

■ РЕЗЮМЕ

**Введение.** Важной характеристикой терапии модифицированными Т-клетками, экспрессирующими химерный антигенный рецептор (chimeric antigen receptor, CAR), является продолжительность персистенции CAR Т-клеток в организме больного. Длительная рестимуляция CAR Т-клеточного продукта *in vitro* с последующим анализом его субпопуляционного состава и цитотоксической активности является одним из способов моделирования поведения клеток в организме больных.

**Цель:** изучить иммунофенотип, показатели истощения и функциональные характеристики анти-CD19 CAR Т-клеточных продуктов, полученных из клеток здоровых доноров и больных В-клеточным острым лимфобластным лейкозом (В-ОЛЛ), в условиях длительной рестимуляции *in vitro*.

**Материалы и методы.** Анти-CD19 CAR Т-клеточный продукт получили из клеток 5 здоровых доноров и 3 больных В-ОЛЛ. Проведено изучение иммунофенотипа полученных клеточных продуктов в условиях повторяющейся антигенной рестимуляции *in vitro* с использованием таргетной клеточной линии NALM6, несущей антиген CD19, в течение 7–10 дней. В каждой точке эксперимента были оценены пролиферативная и цитотоксическая активность, экспрессия маркеров истощения и динамика изменения субпопуляционного состава CAR-Т-клеток памяти (иммунофенотип).

**Результаты.** Анти-CD19 CAR Т-лимфоциты обладали выраженной цитотоксической активностью вне зависимости от источника лимфоцитов (здоровые доноры/больные). В процессе длительной антигенной рестимуляции всех клеточных продуктов наблюдалось уменьшение доли наивных (TN) и эффекторных (TE) CAR Т-клеток и увеличение доли клеток центральной (TCM) и эффекторной памяти (TEM). CAR Т-клетки демонстрировали повышение экспрессии маркеров истощения (PD1, TIM3) вне зависимости от происхождения клеток и соотношения эффектор: таргет.

**Заключение.** Анализ цитотоксической активности и иммунофенотипического состава CAR Т-клеточных продуктов в условиях длительной рестимуляции выявил тенденцию к снижению цитотоксической активности и отличия в динамике пролиферации и популяционного состава между клеточными продуктами, полученными от больных В-ОЛЛ и здоровых доноров.

Ключевые слова: анти-CD19 CAR T, CAR T-клеточная терапия, иммунофенотип, истощение, цитотоксичность

Конфликт интересов: авторы заявляют об отсутствии конфликта интересов.

Финансирование: работа выполнена в соответствии с государственным заданием «Разработка анти-ВСМА CAR Т-клеточного лекарственного препарата для нужд онкогематологии» РК № 125030703310-3 на выполнение научных исследований ФГБУ «НМИЦ гематологии» Минздрава России.

**Для цитирования:** Ненашева Т.А., Фефелова Е.И., Сердюк Я.В., Сальман Р., Иванова Н.О., Алешина О.А., Боголюбова А.В. Сравнение функционального и иммунофенотипического профиля анти-CD19 модифицированных Т-клеток, экспрессирующих химерный антигенный рецептор, полученных от здоровых доноров и больных В-клеточным острым лимфобластным лейкозом, при длительной рестимуляции *in vitro*. Гематология и трансфузиология. 2025; 70(2):156–164. https://doi.org/10.35754/0234-5730-2025-70-2-156-164

# COMPARISON OF THE FUNCTIONAL AND IMMUNOPHENOTYPICAL PROFILE OF ANTI-CD19 CAR T-CELLS DERIVED FROM HEALTHY DONORS AND PATIENTS WITH B-CELL ACUTE LYMPHOBLASTIC LEUKEMIA DURING PROLONGED RE-STIMULATION IN VITRO

Nenasheva T.A., Fefelova E.I., Serdyuk Y.V., Salman R., Ivanova N.O., Aleshina O.A., Bogolyubova A.V.\*

National Medical Research Center for Hematology, 125167, Moscow, Russian Federation

ABSTRACT

Introduction. An important characteristic of therapy with modified T-cells expressing the chimeric antigen receptor (CAR) is the duration of CAR T-cell persistence in the patient's body. Prolonged re-stimulation of CAR T-cell product *in vitro* with further analysis of its subpopulation composition and cytotoxic activity is one of the approaches to model cell behavior in patients. Aim: to study the immunophenotype, exhaustion and functional characteristics of anti-CD19 CAR T-cell products derived from healthy donors and patients with B-cell acute lymphoblastic leukemia (B-ALL) at prolonged re-stimulation conditions *in vitro*. Materials and methods. Anti-CD19 CAR T-cell products were generated from 5 healthy donors and 3 patients with B-ALL. The immunophenotype of the obtained cell products was studied under conditions of repeated antigenic re-stimulation *in vitro* using the target cell line NALM6 carrying the CD19 antigen over 7-10 days. At each experimental timepoint, the following parameters were assessed: proliferative and cytotoxic activity, expression of exhaustion markers, and changes in the subpopulation composition of CAR T-memory cells (immunophenotype).

**Results.** Anti-CD19 CAR T-cells had significant cytotoxic activity regardless of the lymphocyte source (healthy donors/patients). During prolonged antigenic re-stimulation of all products, a decrease in the proportion of naive (TN) and effector (TE) CAR T-cells, and an increase in the proportion of central (TCM) and effector memory (TEM) cells was observed. CAR T-cells showed increased expression of exhaustion markers (PD1, TIM3) irrespective of the origin of the cell and E:T ratio.

**Conclusion.** Analysis of cytotoxic activity and immunophenotypic composition of CAR T-cell products under conditions of prolonged re-stimulation revealed a trend toward decreased cytotoxicity, as well as differences in proliferation dynamics and population composition between cell products obtained from B-ALL patients and healthy donors.

Keywords: anti-CD19 CAR T, CAR T-cell therapy, immunophenotype, exhaustion, cytotoxicity

Conflict of interest: the authors declare no conflict of interest.

**Financial disclosure:** the study was performed in accordance with the State Assignment "Development of anti-BCMA CAR T-cell drug for the needs of oncohematology" RK № 125030703310-3 for the performance of scientific research of the National Medical Research Center for Hematology.

**For citation:** Nenasheva T.A., Fefelova E.I., Serdyuk Ya.V., Salman R., Ivanova N.O., Aleshina O.A., Bogolyubova A.V. Comparison of the functional and immunophenotypical profile of anti-CD19 CAR T-cells derived from healthy donors and patients with B-cell acute lymphoblastic leukemia during prolonged restimulation *in vitro*. Russian Journal of Hematology and Transfusiology (Gematologiya i transfuziologiya). 2025; 70(2):156–164. https://doi.org/10.35754/0234-5730-2025-70-2-156-164

# Введение

Терапия модифицированными Т-клетками, экспрессирующими химерный антигенный рецептор (chimeric antigen receptor) — CAR Т терапия против CD19, является эффективным методом лечения В-клеточных злокачественных новообразований, в частности В-клеточного острого лимфобластного лейкоза

(В-ОЛЛ). САЯ Т-клетки — это генетически модифицированные Т-клетки, экспрессирующие химерный антигенный рецептор, который обеспечивает функцию распознавания антигена на поверхности клеток и их специфический лизис. Несмотря на высокую частоту полного ответа на САЯ Т терапию у больных В-ОЛЛ,

у многих из них возникает ранний рецидив в течение первых трех лет после терапии [1, 2], поэтому в настоящее время исследования направлены на изучение влияния различных параметров САК Т-клеток на исход терапии и поиск возможных путей увеличения эффективности терапии в долгосрочной перспективе [3].

Показано, что долгосрочная ремиссия возможна при длительной персистенции CAR Т-клеток в организме больного, поэтому субпопуляционный состав и функциональная активность CAR Т-клеток могут быть важнейшими параметрами для предсказания эффективности терапии с использованием клеточных продуктов. С этой целью возможно проведение исследований таких параметров клеточных продуктов, как иммунофенотип, степень экспрессии маркеров истощения (таких, как PD1, TIM3, LAG3, FASL, CTLA4, TIGIT), величина продукции цитокинов, цитотоксические функции в формате *in vitro* [4–7].

**Целью** данного исследования являлся сравнительный анализ иммунофенотипа, степени истощения и цитотоксической активности анти-CD19 CAR Т-клеточных продуктов, полученных из клеток здоровых доноров и больных В-ОЛЛ, в условиях длительной антигенной рестимуляции *in vitro*.

# Материалы и методы

Получение CAR Т-клеток. Образцы мононуклеарных клеток периферической крови (МПК) были получены от 5 здоровых доноров и 3 больных В-ОЛЛ (табл. 1). Из МПК методом магнитной сепарации на колонке с использованием магнитных бус  $CytoSinct^{TM}$ 

CD3 Nanobeads (GenScript, США) были выделены СD3+ клетки, после чего их активировали с помощью CD3/CD28 наночастиц Enceed<sup>TM</sup> T Cell Activation (GenScript, США). Подсчет CD3+ клеток проводили на автоматическом клеточном счетчике «LUNA IITM» (Logos Biosystems, Южная Корея) и трансдуцировали лентивирусными частицами (ФГБУ «НМИЦ гематологии» Минздрава России), содержащими анти-CD19 CAR конструкцию второго поколения. Далее клетки культивировали в среде ImmunoCult<sup>TM</sup>-XF T Cell Expansion Medium (STEMCELL Technologies, Канада) в присутствии интерлейкина (ИЛ)-7 и ИЛ-15 (Miltenyi Biotec, Германия). Эффективность трансдукции CAR Т-клеток оценивали методом проточной цитофлуориметрии путем окрашивания клеток рекомбинантным белком CD19-Fc, конъюгированным с красителем AF647 (ФГБУ «НМИЦ гематологии» Минздрава России).

Линии клеток. В качестве мишени, экспрессирующей В-лимфоцитарный антиген CD19, использовали линию клеток острого лимфобластного лейкоза NALM6 и NALM6-GFP, экспрессирующую зеленый флуоресцентный белок (GFP, NALM6-GFP). Необходимость использовать параллельно две клеточные линии, отличные только по экспрессии флуоресцентного белка, была продиктована спецификой составления многоцветной цитофлуориметрической панели в эксперименте по оценке иммунофенотипа. Клеточную линию NALM6-GFP использовали для оценки цитотоксичности CAR Т-клеток, а линию NALM6 — для оценки иммунофе

**Таблица 1.** Клинико-патологические характеристики больных B-ОЛЛ и здоровых доноров **Table 1.** Clinicopathological characteristics of patients with B-ALL and healthy donors

Идентификационный номер Identification number	Пол Gender	Возраст Аде	Диагноз Diagnosis	Вариант заболевания Type of diagnosis	Количество линий терапии Number of therapy lines
<b>Больной 1</b> Patient 1	ж/ғ	38	<b>В-ОЛЛ</b> В-ALL	B-II, 46 XX	<b>1 (ОЛЛ-2016)</b> 1 (RALL-2016)
<b>Больной 2</b> Patient 2	ж/ғ	27	<b>В-ОЛЛ</b> B-ALL	B-I, t (4;11) (q21; q23)	<b>1 (ОЛЛ-2016)</b> 1 (RALL-2016)
<b>Больной 3</b> Patient 3	ж/ғ	44	<b>В-ОЛЛ</b> B-ALL	B-I, † (4;11) (q21; q23)	<b>1 (ОЛЛ-2016)</b> 1 (RALL-2016)
Донор 1 Donor 1	ж/ғ	25	здоровый доброволец healthy donor	-	-
<b>Донор 2</b> Donor 2	ж/ғ	25	здоровый доброволец healthy donor	-	-
<b>Донор 3</b> Donor 3	ж/ғ	31	здоровый доброволец healthy donor	-	-
<b>Донор 4</b> Donor 4	ж/ғ	57	здоровый доброволец healthy donor	-	-
<b>Донор 5</b> Donor 5	M/M	26	здоровый доброволец healthy donor	-	-

нотипа и степени истощения. Клетки культивировали в среде IMDM (Thermo Fisher Scientific, США), содержащей 10% фетальной телячьей сыворотки (Capricorn, Германия),  $100\times10^3$  мг/л пенициллина/стрептомицина (Thermo Fisher Scientific, США), при температуре 37 °C и 5% CO $_2$ 

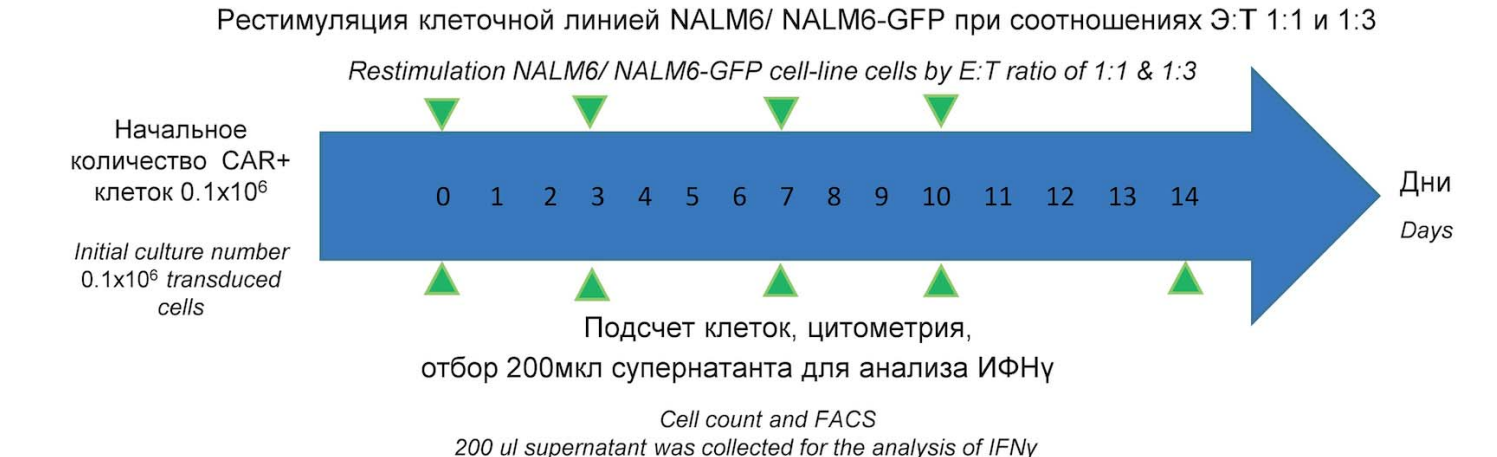
Длительная антигенная рестимуляция CAR Т-клеток.  $0.1 \times 10^6$  CAR+ Т-клеток культивировали совместно с клеточной линией NALM6-GFP, несущей на своей поверхности антиген CD19, и параллельно 0,1×10<sup>6</sup> CAR+ Т-клеток с NALM6 в соотношениях эффектор: таргет (Э:Т), равных 1:1 и 1:3, в среде ImmunoCult<sup>TM</sup>-XF T Cell Expansion Medium (STEMCELL Technologies, Канада), содержащей 0,01 мг/ИЛ-7 и 0,01 мг/л ИЛ-15 (Miltenyi, Германия) в 500 мкл в лунке 48-луночного планшета. Каждые 3–4 дня проводили подсчет общего количества живых клеток в лунке с использованием клеточного счетчика LUNA. Методом проточной цитометрии оценивали процентное содержание CAR+ T-клеток и NALM6-GFP. Для этого в каждой точке анализа отбирали 0,1×10<sup>6</sup> клеток, после чего планшет центрифугировали при 350 g, 5 минут, 22 °C, из лунок отбирали 200 мкл супернатанта для последующей оценки продукции интерферона (ИФН)-ү методом иммуноферментного анализа (ИФА). В лунки вносили необходимое количество NALM6-GFP для восстановления соотношений Э:Т, доводили объем в лунке до 500 мкл свежей культуральной средой. На 7-й день клетки пересаживали в 1 мл культуральной среды в лунку 24-луночного планшета (Wuxi NEST Biotechnology Со., Китай). Общая схема эксперимента представлена на рисунке 1.

Анализ цитотоксической активности САЯ+ Т-клеток. Количество САЯ+ клеток и клеток NALM6-GFP определяли методом проточной цитометрии; САЯ+ клетки окрашивали рекомбинантным белком СD19-Fc, конъюгированным с красителем АF647 (ФГБУ «НМИЦ гематологии» Минздрава России, Россия), клетки NALM6-GFP детектировали по экспрессии флуорес-

центного белка GFP, результаты анализировали с использованием программ «FlowJo 10.81» и «Graphpad Prizm 10.2.3.»

Анализ истощения и субпопуляционного состава САК+ Т-клеток. В каждой точке анализа клетки окрашивали смесью антител: CD3-AF700 (Clone OKT3, Sony), CD4-FITC (Clone RPA-T4, Sony), CD8a-PerCP-Cy5.5 (Clone RPA-T8, Sony), CD19-PE-Cy7 (Clone HIB19, Sony), CD19-Fc (АF-647, ФГБУ «НМИЦ гематологии» Минздрава России) и делили каждую пробу на 2 равные части. Для анализа маркеров истощения в пробу добавляли антитела PD1-BV421 (Clone EH12.2H7, Sony) и TIM-3-PE-Cy7 (CloneF38-2E2, для анализа субпопуляций клеток памяти добавляли CD45RO-PE-Cy7 (Clone UCHL1, Sony), CD197-PE-Dazzle594 (Clone G043H7, Sony). Анализ проводили с помощью BD FACSAria III (BD Biosciences), данные обрабатывали с использованием программы FlowJo 10.8.1.

Анализ секреции ИФН-ү. Концентрацию ИФН-ү в образцах определяли методом ИФА с использованием набора «гамма-Интерферон-ИФА-БЕСТ» («Вектор Бест», Россия) в соответствии с инструкцией производителя. В каждой контрольной точке эксперимента по антигенной рестимуляции CAR Т-клеток отбирали 200 мкл супернатанта из каждого образца, замораживали, хранили при -20 °C, размораживали непосредственно перед анализом. Значения измеряли на спектрофотометре «Multiskan FC Microplate Photometer» (Thermo Fisher Scientific, США). Результаты учитывали как разницу ( $\Delta$ ) между антиген-стимулированной и спонтанной продукцией ИФН-ү нетрансдуцированными клетками и представляли в виде медианы (Ме) и межквартильного диапазона [Q1-Q3]. В качестве порогового значения концентрации ИФН-у использовали 50 пг/мл (среднее значение различий между концентрациями ИФН-ү при определении величины неспецифической продукции ИФН-ү нетрансдуцированными лимфоцитами).



**Рисунок 1.** Схема эксперимента. Стрелками обознаены дни подсчета клеток **Figure 1.** Experimental scheme. The arrows indicate the cell count days.

Статистический анализ. Для проверки гипотез о различиях распределений количественных признаков в группах сравнения использовали критерий Манна — Уитни. Различия признавали значимыми при  $\rho < 0.05$ . Анализ проводили с использованием программы «Graphpad Prizm 10.2.3».

# Результаты

CARТ-клеточного Характеристика продукта. Получили анти-CD19 CAR Т-клеточные продукты из МПК пяти здоровых доноров и 3 больных В-ОЛЛ, у доноров медиана трансдукции составила 31,5%, у больных 18,9%, однако эти различия не были статистически достоверны. Полученные CAR Т-клеточные продукты больных и доноров отличались по субпопуляционному составу, но эти различия также не были статистически значимы. Продукты больных содержали меньшее количество наивных Т-лимфоцитов (TN) и лимфоцитов центральной памяти (ТСМ), а содержание популяций эффекторных (ТЕ) и терминальных эффекторов (ТЕМ) было больше. (рис. 2А, Б, В).

Динамика экспансии CAR Т-клеток в условиях длительной антигенной рестимуляции различалась у больных В-ОЛЛ и здоровых доноров. В ходе эксперимента в каждой временной точке была оценена общая клеточность популяции CAR+ клеток. Она показала, что все CAR Т-клеточные продукты демонстрировали высокий потенциал к экспансии в ответ на антигенный стимул независимо от источника клеток и соотношения Э:Т. Индекс пролиферации (соотношение количества CAR+ клеток в лунке в каждой точке анализа и количества CAR+ клеток в предшествующей точке анализа) варьировал в пределах от 1,5 до 10,4 в зависимости от временной точки и соотношения Э:Т. Пик пролиферации CAR+ клеток, полученных из клеток здоровых доноров, приходился на 3 день, тогда как CAR Т-клетки, полученные из МПК больного, демонстрировали отложенный во времени пик пролиферации,

соответствующий 7-му дню эксперимента. После пика экспансии показатели индекса пролиферации уменьшались у всех групп клеточных продуктов, что, по-видимому, может быть связано с клональным истощением репертуара Т-лимфоцитов, вызванным длительной антигенной рестимуляцией [8]. На рисунках 3 А и 3 Г приведены данные по пролиферации для групп доноров и больных. Каждая точка представляет собой среднее значение со стандартной ошибкой среднего.

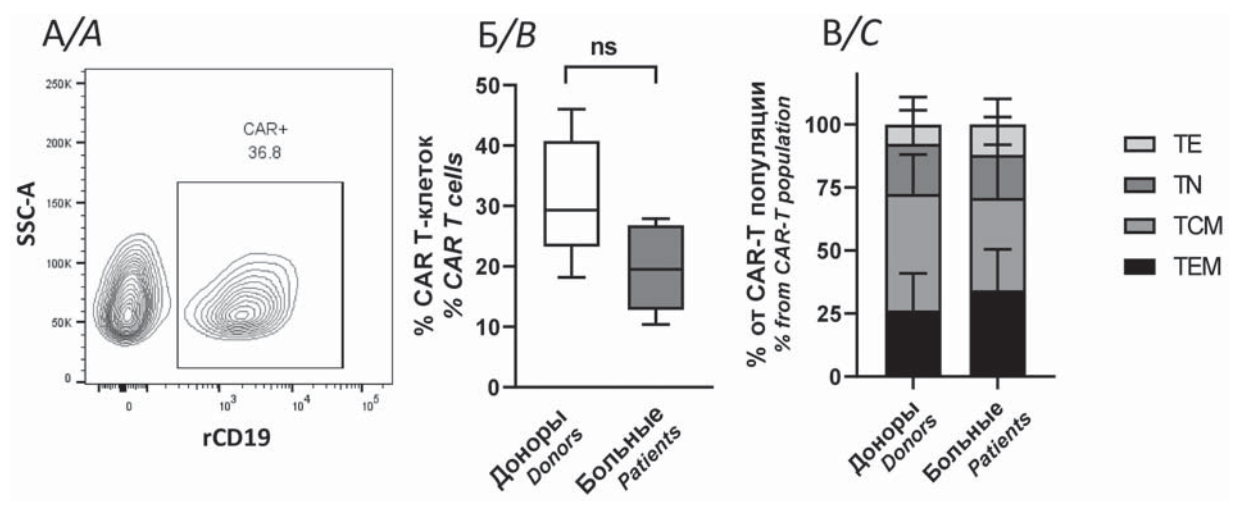
САК Т-клеточные продукты обладали выраженными цитотоксическими свойствами вне зависимости от источника клеток. Для исследования цитотоксической активности CAR Т-клеточных препаратов в каждой точке исследования определяли процент лизиса таргетных клеток NALM6-GFP. Процент лизиса определяли по формуле:

$$L = 100 - (n/m \times 100),$$

где L — процент лизиса, n — количество оставшихся клеток NALM6-GFP на день C, m — количество добавленных клеток NALM6-GFP на день C-1.

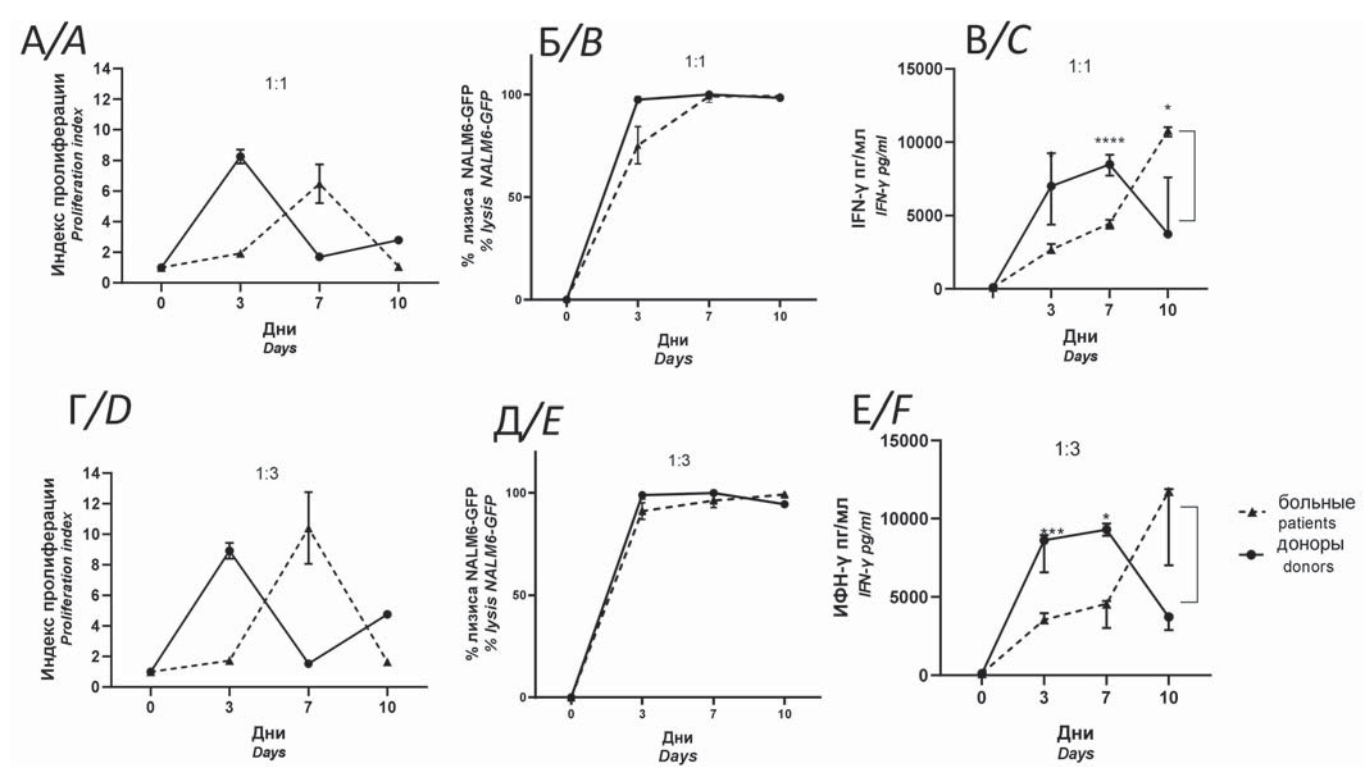
В день 3 медиана лизиса для доноров и больных при соотношении Э:Т 1:1 составила 95,5 и 75%, при соотношении Э:Т 1:398,8 и 91% соответственно. К 10-му дню у больных лизис достигал 99%, а у доноров наблюдалось незначительное снижение до 94%. Таким образом, при длительной рестимуляции САК Т-клеточные препараты здоровых доноров и больных были одинаково эффективны по отношению к NALM6-GFP в двух соотношениях Э:Т 1:1 и 1:3, при этом пик пролиферации САК Т-клеток соответствовал высокому проценту лизиса опухолевых клеток NALM6-GFP (см. рис. 3 А–Д).

Анализ концентрации провоспалительного цитокина ИФН- $\gamma$  в культуральной среде после культивирования CAR Т-клеток больных и доноров с таргетными клетками NALM6 показал высокое содержание ИФН- $\gamma$  в культуральной среде на всем протяжении



**Рисунок 2.** Характеристика CAR Т-клеточных продуктов, полученных из МПК доноров и больных: А — репрезентативный график доли трансдукции МПК донора 1, Б — процент трансдукции, В — субпопуляционный состав CAR Т-клеток

Figure 2. Characterization of CAR T cell products derived from donor and patient PBMCs: A- representative graph of the transduction percentage of donor 1's PBMC, B- transduction percentage, C- CAR T cell subpopulation composition



**Рисунок 3.** Анти-CD19 CAR Т-клетки, полученные из МПК доноров и больных, рестимулированные таргетной линией NALM6-GFP в дни 0, 3, 7 в соотношениях Э:Т 1:1 и 1:3, демонстрировали высокую степень пролиферации и цитотоксичность: А,  $\Gamma$  — кратность пролиферации CAR-T-клеток, полученных от доноров и больных, во время хронической рестимуляции линией опухолевых клеток, экспрессирующих CD19 (NALM6), в условиях Э:Т (A — 1:1,  $\Gamma$  — 1:3); Б,  $\Pi$  — процент лизиса таргетных клеток NALM6-GFP в лунке при разных соотношениях Э:Т, для CAR-T, полученных из МПК доноров и больных; В, E — динамика концентрации ИФН- $\Psi$ , секретируемого CAR T-клетками, в различных временных точках. \* означает P < 0,05, \*\* P < 0,01, \*\*\* P < 0,001, \*\*\*\* P < 0,0001. Количество экспериментов n = 2, доноров n = 5, больных n = 3 **Figure 3.** Anti-CD19 CAR T cells derived from donor and patient PBMC and n restimulated with the NALM6-GFP target cell line on days 0, 3 and 7 at n 2:T ratios of 1:1 and 1:3 demonstrated a high degree of proliferation and cytotoxicity: n A, n — proliferation rate of donor- and patient-derived CAR T cells during chronic restimulation with the CD19-expressing tumor cell line (NALM6) under n 2:T conditions (A — 1:1 and n — 1:3); n 8, n — percentage of lysis of NALM6-GFP target cells in a well at different n 2:T ratios for donor- and patient-derived CAR-T cells; n CAR-T cells; n 0.001, \*\*\*\* n < 0.0001. Number of experiments n = 2, donors n = 5, patients n = 3

эксперимента. Между образцами супернатантов от CAR Т-клеток доноров и больных при соотношении Э:Т 1:1 наблюдалось статистически значимое различие в величине секреции ИФН-ү в день 7 и 10 рестимуляции (рис. 3 В), при соотношении Э:Т 1:3 наблюдалось статистически достоверное различие в величине секреции ИФН-ү в день 3 и 7 рестимуляции (рис. 3 Е), что соответствовало более позднему росту цитотоксичности САR Т-клеток больных в день 7 (рис. 3 Б, Д).

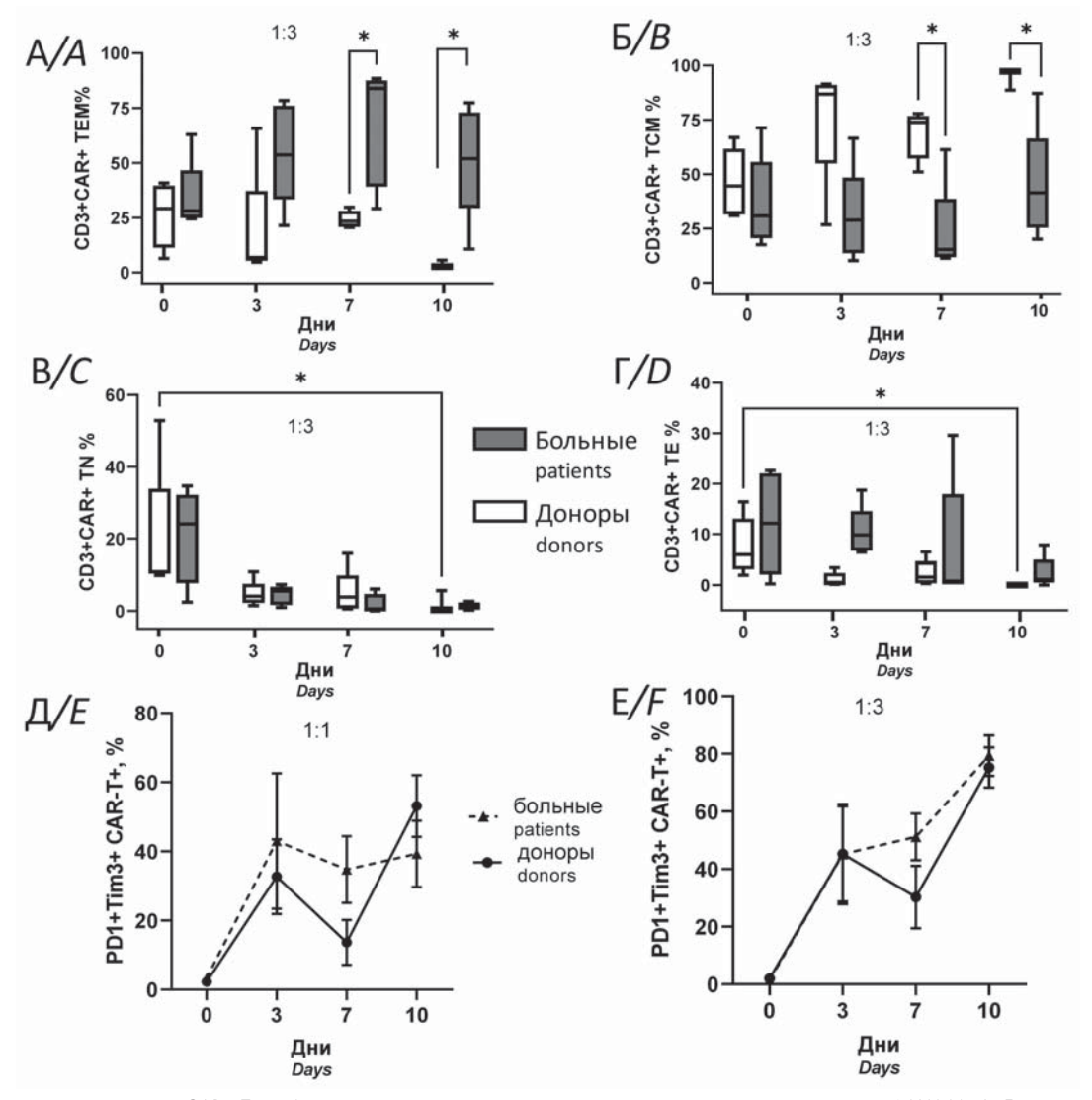
Более поздняя пролиферация и цитотоксический ответ клеток больных на стимуляцию NALM6 в сравнении с клетками доноров могут быть связаны с изначально более дифференцированным фенотипом, что следует из данных С. Е. Graham и соавт. [9], однако в приведенных экспериментах на маленькой выборке статистически значимых иммунофенотипических отличий не обнаружили.

Иммунофенотипические особенности САЯ Т-клеток, полученных от доноров и больных. Оценили влияние длительной антигенной рестимуляции на субпопуляционный состав САЯ-Т-клеточного продукта. В каждой точке исследования определяли содержание в продукте следующих популяций: наивных клеток — TN (CD45RO-CCR7+), эффекторных клеток памя-

ти — TEM (CD45RO+CCR7-), клеток центральной памяти — TCM (CD45RO+CCR7+) и эффекторных клеток — TE (CD45RO-CCR7-). В день 0 субпопуляционный состав CAR+ Т-клеток, полученных из МПК клеток больных и доноров, достоверно не отличался (рис. 4 A– $\Gamma$ ). У больных на 7-й и 10-й день содержание клеток центральной памяти (TCM) в продукте было достоверно ниже, а содержание эффекторных клеток памяти (TEM) достоверно возрастало. Описанные изменения были характерны только для соотношения Э:Т 1:3, для соотношения Э:Т 1:1 достоверных различий выявлено не было (данные не показаны).

Статистически значимым было уменьшение содержания в CAR+ Т-клеточных продуктах доноров и больных популяций TN и TE клеток, что можно объяснить быстрой дифференцировкой наивных клеток и постоянной гибелью эффекторных клеток при повторной стимуляции таргетной линией NALM6 (рис. 4 В,  $\Gamma$ ). Различия наблюдались только при соотношении  $\Im T$  1:3.

Для оценки динамики истощения CAR Т-клеток было проанализировано изменение доли истощенных PD-1+TIM-3+CD3+CAR+ Т-лимфоцитов в ответ на длительную рестимуляцию таргетными клетками. У доноров и больных в CAR-Т продукте до начала рестимуляции



**Рисунок 4.** Иммунофенотип и истощение CAR+ Т-лимфоцитов изменяются в процессе антигенной рестимуляции линией NALM6:  $A-\Gamma-$  популяционный состав CAR+ Т-лимфоцитов в разные дни рестимуляции при соотношении  $\ni$ :Т 1:3, A- TCM, B- TEM, B- TN,  $\Gamma-$ TE;  $\Box$ , E- динамика истощения (коэкспрессия маркеров PD-1 и TIM-3) CAR+ клеток, полученных от доноров и больных, во время антигенной рестимуляции клетками линии NALM6 в соотношении  $\ni$ :Т, равном 1:1 ( $\Box$ ) и 1:3 (E) *in vitro*. \* P < 0,05, \*\*\* P < 0,001

антигеном доля популяции клеток, экспрессирующей маркеры истощения PD-1+TIM3+, была низкой (1-3%). К 3-му дню наблюдалось увеличение исследуемой популяции клеток до 40%, а к 10-му — до 60–79%. Статистически достоверной разницы степени истощения CAR+ Т-лимфоцитов между донорами и больными при соотношениях 1:1 и 1:3 обнаружено не было, динамика истощения была характерна для всех продуктов, независимо от источника клеток (рис. 4 Д, E).

# Обсуждение

Применение аутологичных САR Т-клеточных продуктов является прорывом в персонализированной терапии В-клеточных злокачественных новообразований крови. В то же время важной проблемой остается влияние исходного клеточного материала на качество САR Т продукта и его эффекторные функции [9].

В этой работе показана тенденция к снижению доли трансдукции вирусными частицами Т-лимфоцитов у больных В-ОЛЛ, что означает уменьшение содержания CAR Т-клеток в готовом продукте больных. В то же время влияния исходного субпопуляционного состава МПК на качество CAR T продукта не обнаружено. Тем не менее в работах на больших выборках было показано, что иммунофенотип МПК может быть использован в качестве предиктивного маркера эффективности терапии. J. A. Fraiettatta и соавт. [10] показали, что длительная ремиссия у больных хроническим лимфолейкозом после проведения CAR T терапии была связана с наличием субпопуляции слабодифференцированных CD27+CD45RO-CD8+ Т-лимфоцитов среди МПК. В другой работе [11] была показана связь между низкой эффективностью CAR Т терапии и дефицитом субпопуляции наивных

Т-лимфоцитов в периферической крови педиатрических больных.

В рамках настоящей работы также оценили функциональные и иммунофенотипические различия CAR T клеточных продуктов, полученных от здоровых доноров и больных. Анализ цитотоксической активности CAR Т-клеток по отношению к клеткам-мишеням NALM6 показал, что CAR Т-клеточные продукты обладали выраженным эффекторным действием независимо от происхождения клеток, однако отличались по пролиферативному потенциалу. Максимальную экспансию клеточного продукта доноров наблюдали в 3-й день, а у больных — в 7-й день эксперимента. Схожие данные были получены и другими исследователями. В работе D. K. Y. Zhang и соавт. [12] был проведен анализ экспансии CAR Т-клеток в ответ на стимуляцию активационными частицами CD3/CD28, клетки больных продемонстрировали более низкую скорость экспансии при более высоких концентрациях частиц CD3/CD28.

Оценили динамику изменения субпопуляционного состава САР Т-клеточных продуктов доноров и больных при длительной рестимуляции опухолевыми клетками. К 10-му дню у доноров и больных наблюдали уменьшение доли субпопуляции наивных (TN) Т-лимфоцитов, что соответствовало уменьшению индекса пролиферации. Одновременно доля субпопуляции Т-лимфоцитов эффекторного фенотипа (TE) увеличивалась во всех клеточных продуктах. Похожие данные были получены другими исследователями в экспериментах на мышиной модели, в которых пока-

## Литература / References

- 1. Maude S.L., Frey N., Shaw P.A., et al. Chimeric Antigen Receptor T Cells for Sustained Remissions in Leukemia. N Engl J Med. 2014;371(16):1507–17. DOI: 10.1056/NEJMoa1407222.
- 2. Xu X., Sun Q., Liang X., et al. Mechanisms of Relapse After CD19 CAR T-Cell Therapy for Acute Lymphoblastic Leukemia and Its Prevention and Treatment Strategies. Front Immunol. 2019;10:2664. DOI: 10.3389/fimmu.2019.02664.
- 3. Garfall A.L., Dancy E.K., Cohen A.D., et al. T-cell phenotypes associated with effective CAR T-cell therapy in postinduction vs relapsed multiple myeloma. Blood Adv. 2019;3(19):2812–5. DOI: 10.1182/bloodadvances.2019000600.
- 4. Si X., Xiao L., Brown C.E., et al. Preclinical Evaluation of CART Cell Function: In Vitro and In Vivo Models. Int J Mol Sci. 2022;23(6):3154. DOI: 10.3390/ijms23063154.
- 5. García-Calderón C.B., Sierro-Martínez B., García-Guerrero E., et al. Monitoring of kinetics and exhaustion markers of circulating CART cells as early predictive factors in patients with B-cell malignancies. Front Immunol. 2023;1–14. DOI: 10.3389/fimmu.2023.1152498.
- 6. Haradhvala N.J., Leick M.B., Maurer K., et al. Distinct cellular dynamics associated with response to CAR T therapy for refractory B cell lymphoma. Nat Med. 2022;28(9):1848–59. DOI: 10.1038/s41591-022-01959-0.
- 7. Deng Q., Han G., Puebla-Osorio N., et al. Characteristics of anti-CD19 CAR T cell infusion products associated with efficacy and toxicity in patients with large B cell lymphomas. Nat Med. 2020;26(12):1878–87. DOI: 10.1038/s41591-020-1061-7.

  8. Schober K., Voit F., Grassmann S., et al. Reverse TCR repertoire evolution toward dominant low-affinity clones during chronic CMV infection. Nat Immunol.

2020;21(4):434-41. DOI: 10.1038/s41590-020-0628-2.

зано, что доля субпопуляции стволовых клеток памяти (TSCM (CD45RA+CD62L+CD95+)) в конечном CAR Т-клеточном продукте больных В-ОЛЛ положительно коррелировала с экспансией CAR Т-клеток *in vivo*. Напротив, высокая доля субпопуляции TEM в конечном продукте отрицательно влияла на экспансию CAR Т-клеток *in vivo* [13].

Доля экспрессии маркеров истощения PD1 и TIM3 на CAR Т-клетках больных и доноров при увеличенной опухолевой нагрузке была выше при соотношении Э:Т 1:3. Повышенные значения экспрессии маркеров истощения, таких как PD1 и TIGIT, соответствуют более дифференцированному фенотипу Т-клеток [14] и их функциональной несостоятельности [15]. Повышение экспрессии маркеров PD1 и TIM3 при повторяющейся антигенной рестимуляции подчеркивает риск функционального истощения CAR Т-клеток, что требует дальнейшего изучения для оптимизации их терапевтического применения.

Несмотря на различия в кинетике пролиферации, цитотоксическая активность CAR Т-клеток оставалась высокой во всех клеточных продуктах, полученных как из клеток доноров, так и из клеток больных. Это подтверждает перспективность использования CAR Т терапии даже у больных с исходно измененным иммунным статусом. Дальнейшие исследования должны быть направлены на выявление молекулярных механизмов, лежащих в основе этих различий, и разработку персонализированных подходов к производству САR Т-клеточных продуктов.

- 9. Graham C.E., Jozwik A., Quartey-Papafio R., et al. Gene-edited healthy donor CAR T cells show superior anti-tumour activity compared to CAR T cells derived from patients with lymphoma in an in vivo model of high-grade lymphoma. Leukemia. 2021;35(12):3581–4. DOI: 10.1038/s41375-021-01324-z.
- 10. Fraietta J.A., Lacey S.F., Orlando E.J., et al. Determinants of response and resistance to CD19 chimeric antigen receptor (CAR) T cell therapy of chronic lymphocytic leukemia. Nat Med. 2018;24(5):563–71. DOI: 10.1038/s41591-018-0010-1.
- 11. Das R.K., Vernau L., Grupp S.A., et al. Naïve T-cell Deficits at Diagnosis and after Chemotherapy Impair Cell Therapy Potential in Pediatric Cancers. Cancer Discov. 2019;9(4):492–9. DOI: 10.1158/2159-8290.CD-18-1314.
- 12. Zhang D.K.Y., Adu-Berchie K., Iyer S., et al. Enhancing CAR T cell functionality in a patient-specific manner. Nat Commun. 2023;14(1):506. DOI: 10.1038/s41467-023-36126-7.
- 13. Arcangeli S., Falcone L., Camisa B., et al. Next-Generation Manufacturing Protocols Enriching TSCM CAR T Cells Can Overcome Disease-Specific T Cell Defects in Cancer Patients. Front Immunol. 2020;1–11. DOI: 10.3389/fimmu.2020.01217.
- 14. Ren H., Cao K., Wang M. A Correlation Between Differentiation Phenotypes of Infused T Cells and Anti-Cancer Immunotherapy. Front Immunol. 2021;1–12. DOI: 10.3389/fimmu.2021.745109.
- 15. Jackson Z., Hong C., Schauner R., et al. Sequential Single-Cell Transcriptional and Protein Marker Profiling Reveals TIGIT as a Marker of CD19 CAR T Cell Dysfunction in Patients with Non-Hodgkin Lymphoma. Cancer Discov. 2022;12(8):1886–903. DOI: 10.1158/2159-8290.CD-21-1586.

### Информация об авторах

**Ненашева Татьяна Анатольевна,** старший научный сотрудник лаборатории трансляционной иммунологии ФГБУ «Национальный медицинский исследовательский центр гематологии» Министерства здравоохранения Российской Федерации,

e-mail: dreminat@mail.ru

ORCID: https://orcid.org/0000-0002-1669-5244

Фефелова Екатерина Игоревна, стажер-исследователь лаборатории трансплантационной иммунологии ФГБУ «Национальный медицинский исследовательский центр гематологии» Министерства здравоохранения Российской Федерации,

e-mail: eifefelova27@gmail.com

ORCID: https://orcid.org/0000-0002-3296-503X

Сердюк Яна Викторовна, научный сотрудник лаборатории трансляционной иммунологии ФГБУ «Национальный медицинский исследовательский центр гематологии» Министерства здравоохранения Российской Федерации.

e-mail: serdyuk.ya.v@gmail.com

ORCID: https://orcid.org/0000-0003-1573-7614

**Иванова Наталия Олеговна,** молекулярный биолог лаборатории трансляционной иммунологии ФГБУ «Национальный медицинский исследовательский центр гематологии» Министерства здравоохранения Российской Федерации,

e-mail: ivanova.n@blood.ru

ORCID: https://orcid.org/0000-0002-4725-6391

Алешина Ольга Александровна, кандидат медицинских наук, заведующая отделом клеточной и иммунной терапии, врач-гематолог ФГБУ «Национальный медицинский исследовательский центр гематологии» Министерства здравоохранения Российской Федерации,

e-mail: dr.gavrilina@mail.ru

ORCID: http://orcid.org/0000-0002-9969-8482

**Салман Рэнд,** лаборант лаборатории трансляционной иммунологии ФГБУ «Национальный медицинский исследовательский центр гематологии» Министерства здравоохранения Российской Федерации,

e-mail: randsalman1@gmail.com

ORCID: https://orcid.org/0009-0005-1842-4498

Боголюбова Аполлинария Васильевна\*, кандидат биологических наук, заведующая лабораторией трансляционной иммунологии ФГБУ «Национальный медицинский исследовательский центр гематологии» Министерства здравоохранения Российской Федерации, e-mail: apollinariya.bogolyubova@gmail.com

ORCID: https://orcid.org/0000-0002-8664-6341

\* Автор, ответственный за переписку

Поступила: 27.05.2025 Принята к печати: 10.06.2025

#### Information about the authors

**Tatiana A. Nenasheva,** Senior researcher, Laboratory of Translational Immunology, National Medical Research Center for Hematology, e-mail: dreminat@mail.ru

ORCID: https://orcid.org/0000-0002-1669-5244

**Ekaterina I. Fefelova**, Assistant researcher, Laboratory of Transplantation Immunology, National Medical Research Center for Hematology,

e-mail: eifefelova27@gmail.com

ORCID: https://orcid.org/0000-0002-3296-503X

**Yana V. Serdyuk,** Researcher, Laboratory of Translational Immunology, National Medical Research Center for Hematology,

e-mail: serdyuk.ya.v@gmail.com

ORCID: https://orcid.org/0000-0003-1573-7614

**Rand Salman,** Laboratory assistant, Laboratory of Translational Immunology, National Medical Research Center for Hematology,

e-mail: randsalman1@gmail.com

ORCID: https://orcid.org/0009-0005-1842-4498

**Natalia O. Ivanova,** Molecular biologist, Laboratory of Translational Immunology, National Medical Research Center for Hematology,

e-mail: ivanova.n@blood.ru

ORCID: https://orcid.org/0000-0002-4725-6391

**Olga A. Aleshina**, Cand Sci (Med), Head of the Laboratory of Cellular and Immune Therapy, hematologist, Department of Hematology and Chemotherapy of Acute Leukemia and Lymphomas, National Medical Research Center for Hematology,

e-mail: dr.gavrilina@mail.ru

ORCID: https://orcid.org/0000-0002-9969-8482

**Apollinariya V. Bogolyubova\*,** Cand. Sci. (Biol.), Head of the Laboratory of Translational Immunology, National Medical Research Center for Hematology, e-mail: apollinariya.bogolyubova@gmail.com

ORCID: https:/orcid.org/0000-0002-8664-6341

\* Corresponding author

Received 27 May 2025 Accepted 10 Jun 2025